

ตัวอย่างชนิดตัวพิมพ์และระยะห่างระหว่างบรรทัด

1. ตัวพิมพ์ภาษาไทยชนิด TH Sarabun New ตั้งค่าระยะห่างระหว่างบรรทัด 1 เท่า (Single)

ขนาด 14 พอยต์ ชนิดตัวพิมพ์ธรรมดา (Normal)

ขนาด 14 พอยต์ ชนิดตัวพิมพ์หนา (Bold)

ขนาด 14 พอยต์ ชนิดตัวพิมพ์เอน (Italic)

ขนาด 16 พอยต์ ชนิดตัวพิมพ์ธรรมดา (Normal)

ขนาด 16 พอยต์ ชนิดตัวพิมพ์หนา (Bold)

ขนาด 16 พอยต์ ชนิดตัวพิมพ์เอน (Italic)

ขนาด 18 พอยต์ ชนิดตัวพิมพ์ธรรมดา (Normal)

ขนาด 18 พอยต์ ชนิดตัวพิมพ์หนา (Bold)

ขนาด 18 พอยต์ ชนิดตัวพิมพ์เอน (Italic)

2. ตัวพิมพ์ภาษาอังกฤษชนิด TH Sarabun New หรือ Times New Roman (ตั้งค่าระยะห่างระหว่างบรรทัด 1.5 เท่า)

Font size 12 point, Normal style

Font size 12 point, Bold style

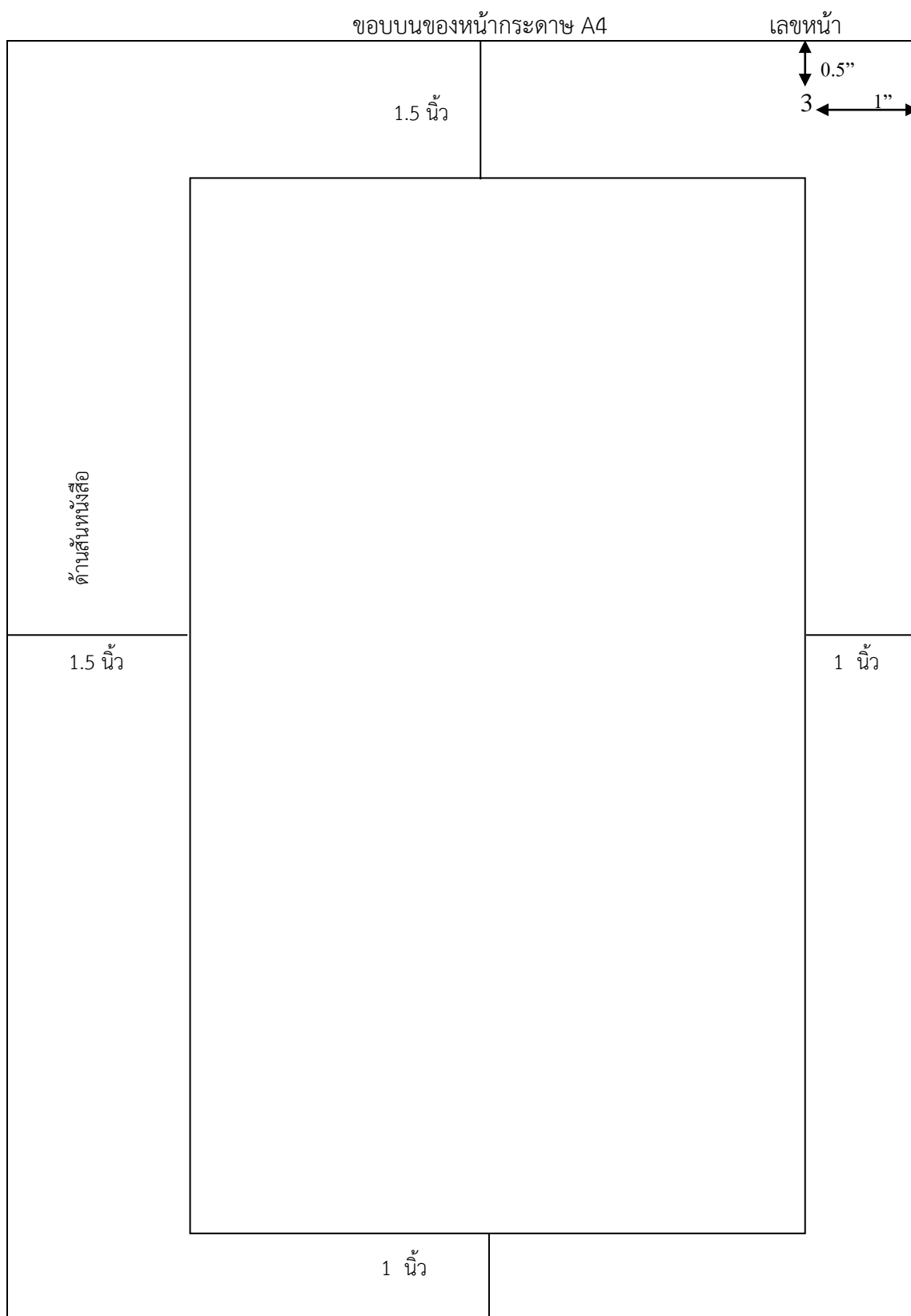
Font size 12 point, Italic style

Font size 14 point, Normal style

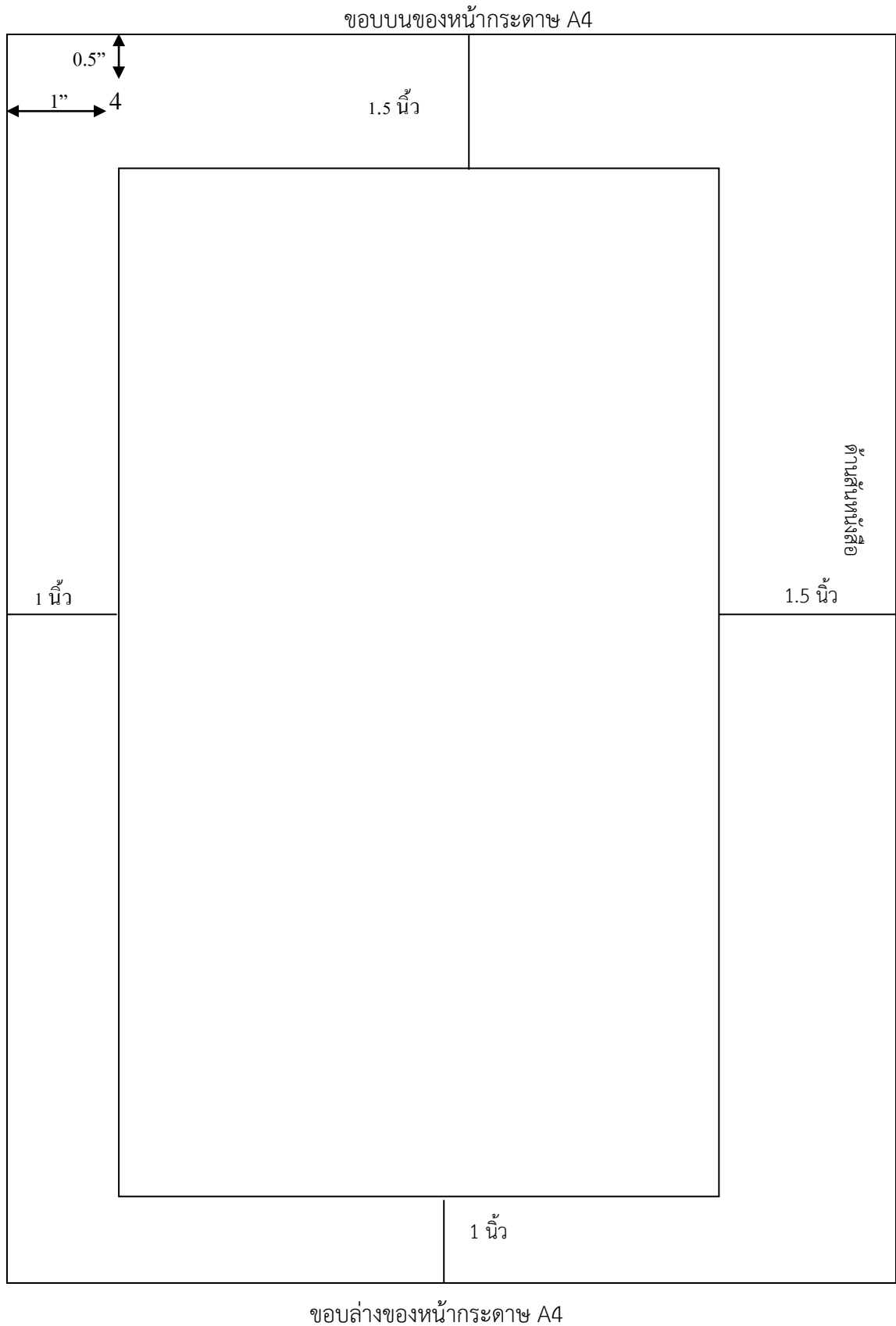
Font size 14 point, Bold style

Font size 14 point, Italic style

ตัวอย่างการเว้นขอบกระดาษและการใส่เลขหน้าของหน้าเลขคู่



ตัวอย่างการเว้นขอบกระดาษและการใส่เลขหน้าของหน้าเลขคู่



**ตัวอย่างการย่อหน้าและการแบ่งหัวข้อใหญ่
หัวข้อย่อย (ตัวอย่างที่ 1)**

แบบที่ 1

1. หัวข้อใหญ่

*****ย่อหน้า.....

.....

*****1.1 หัวข้อย่อยระดับที่ 1

*****ย่อหน้า.....

.....

1.1.1 หัวข้อย่อยระดับที่ 2

1.1.2 หัวข้อย่อยระดับที่ 2

1.1.2.1 หัวข้อย่อยระดับที่ 3

1) หัวข้อย่อยระดับที่ 4

2) หัวข้อย่อยระดับที่ 4

1.1.2.2 หัวข้อย่อยระดับที่ 3

1.1.3 หัวข้อย่อยระดับที่ 2

1.2 หัวข้อย่อยระดับที่ 1

2. หัวข้อใหญ่

2.1 หัวข้อย่อยระดับที่ 1

2.1.1 หัวข้อย่อยระดับที่ 2

2.1.1.1 หัวข้อย่อยระดับที่ 3

2.2 หัวข้อย่อยระดับที่ 1

2.3 หัวข้อย่อยระดับที่ 1

3. หัวข้อใหญ่

**ตัวอย่างการย่อหน้าและการแบ่งหัวข้อใหญ่
หัวข้อย่อย (ตัวอย่างที่ 2)**

แบบที่ 2

1. หัวข้อใหญ่

*****ย่อหน้า.....

.....

*****1.1 หัวข้อย่อยระดับที่ 1

*****ย่อหน้า.....

.....

1.1.1 หัวข้อย่อยระดับที่ 2

1.1.2 หัวข้อย่อยระดับที่ 2

1.1.2.1 หัวข้อย่อยระดับที่ 3

ก. หัวข้อย่อยระดับที่ 4

ข. หัวข้อย่อยระดับที่ 4

1.1.2.2 หัวข้อย่อยระดับที่ 3

1.1.3 หัวข้อย่อยระดับที่ 2

1.2 หัวข้อย่อยระดับที่ 1

2. หัวข้อใหญ่

2.1 หัวข้อย่อยระดับที่ 1

2.1.1 หัวข้อย่อยระดับที่ 2

2.1.1.1 หัวข้อย่อยระดับที่ 3

2.2 หัวข้อย่อยระดับที่ 1

2.3 หัวข้อย่อยระดับที่ 1

3. หัวข้อใหญ่

**ตัวอย่างการย่อหน้าและการแบ่งหัวข้อใหญ่
หัวข้อย่อย (ตัวอย่างที่ 3)**

แบบที่ 3

หัวข้อใหญ่ที่ 1 (แบบไม่ใส่เลขกำกับหัวข้อ)

*****ย่อหน้า.....

.....

*****1. หัวข้อย่อยระดับที่ 1

*****ย่อหน้า.....

.....

1.1 หัวข้อย่อยระดับที่ 2

1.2 หัวข้อย่อยระดับที่ 2

1.2.1 หัวข้อย่อยระดับที่ 3

1.2.1.1 หัวข้อย่อยระดับที่ 4

1.2.1.2 หัวข้อย่อยระดับที่ 4

1.2.2 หัวข้อย่อยระดับที่ 3

1.3 หัวข้อย่อยระดับที่ 2

2. หัวข้อย่อยระดับที่ 1

หัวข้อใหญ่ที่ 2

1. หัวข้อย่อยระดับที่ 1

1.1 หัวข้อย่อยระดับที่ 2

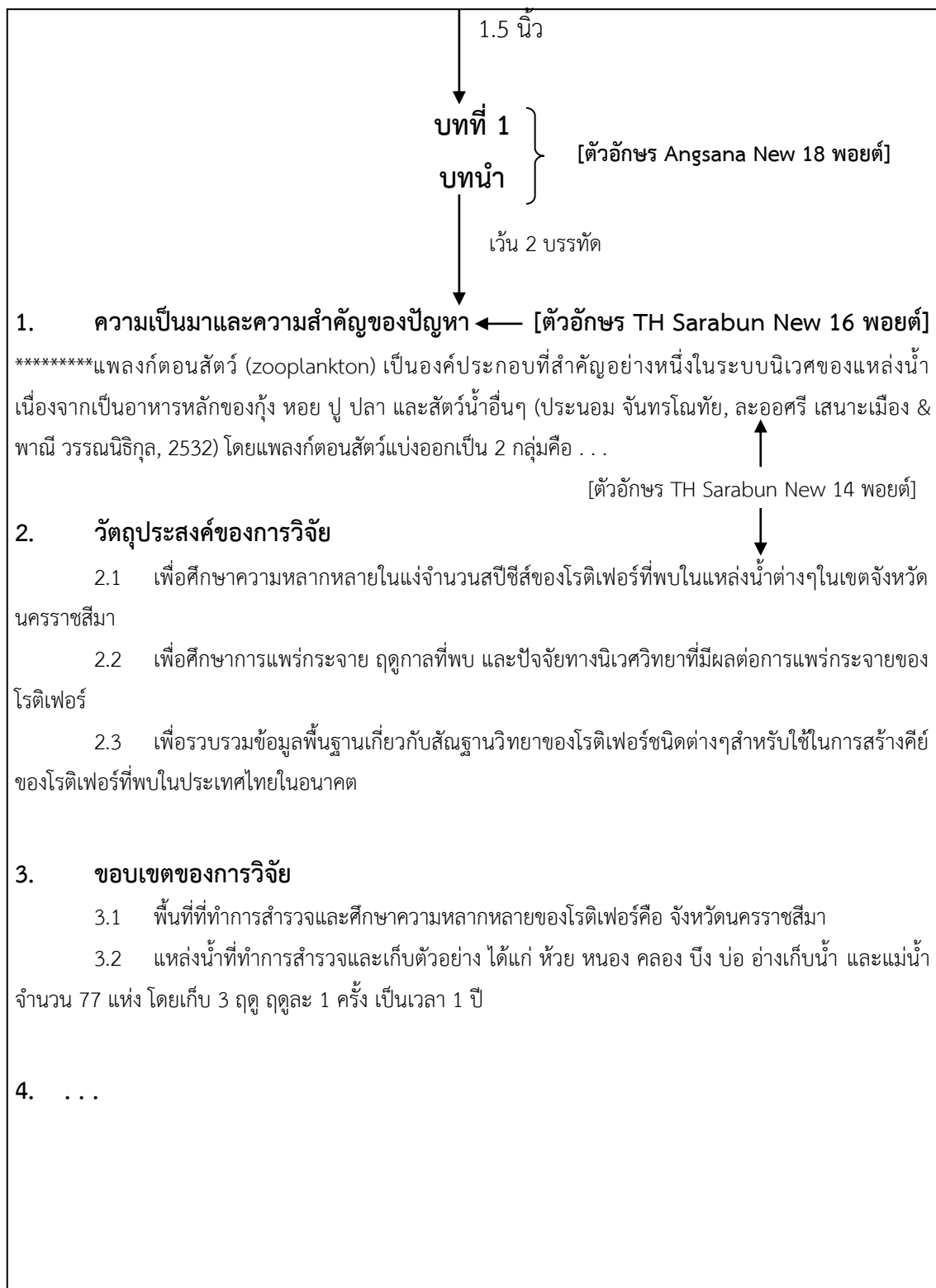
1.1.1 หัวข้อย่อยระดับที่ 3

2. หัวข้อย่อยระดับที่ 1

3. หัวข้อย่อยระดับที่ 1

หัวข้อใหญ่ที่ 3

ตัวอย่างการพิมพ์ชื่อบทและการจัดวางเนื้อหา-ภาษาไทย
(ตัวอย่างที่ 1)



ตัวอย่างการพิมพ์ชื่อบท และการจัดวางเนื้อหา-ภาษาไทย
(ตัวอย่างที่ 2)

บทที่ 2

วรรณกรรมและงานวิจัยที่เกี่ยวข้อง

1. **สัณฐานวิทยาและการจัดระเบียบภายในของโรติเฟอร์**
 - 1.1 **สัณฐานวิทยาภายนอก**

โรติเฟอร์เป็นสัตว์หลายเซลล์ขนาดเล็กที่มีขนาด 40 ไมโครเมตรถึง 2.5 มิลลิเมตร แต่ส่วนใหญ่มีขนาดอยู่ระหว่าง 50-100 ไมโครเมตร (Clement & Wurdak, 1991) อย่างไรก็ตาม. . .
 - 1.2 **ระบบอวัยวะและหน้าที่**

โรติเฟอร์มีระบบกล้ามเนื้อที่ประกอบด้วยเนื้อเยื่อ 3 ชั้น มีระบบทางเดินอาหาร ระบบขับถ่าย และระบบสืบพันธุ์ ซึ่งอวัยวะ. . .

 - 1.2.1 **โทรพีและระบบทางเดินอาหาร**

ระบบทางเดินอาหารของโรติเฟอร์มีลักษณะคล้ายท่อ โดยมีปากทางส่วนหัว และทวารหนักทางส่วนท้าย (Pechenik, 1996) (ภาพที่ 1) หลังจาก. . .

โครงสร้างและรูปร่างของโทรพีจะแตกต่างกันในโรติเฟอร์แต่ละชนิด ซึ่งสอดคล้องกับลักษณะในการบดเคี้ยวอาหาร. . . ทำให้สามารถแบ่งโทรพีได้เป็น 9 ชนิดหลักๆ คือ

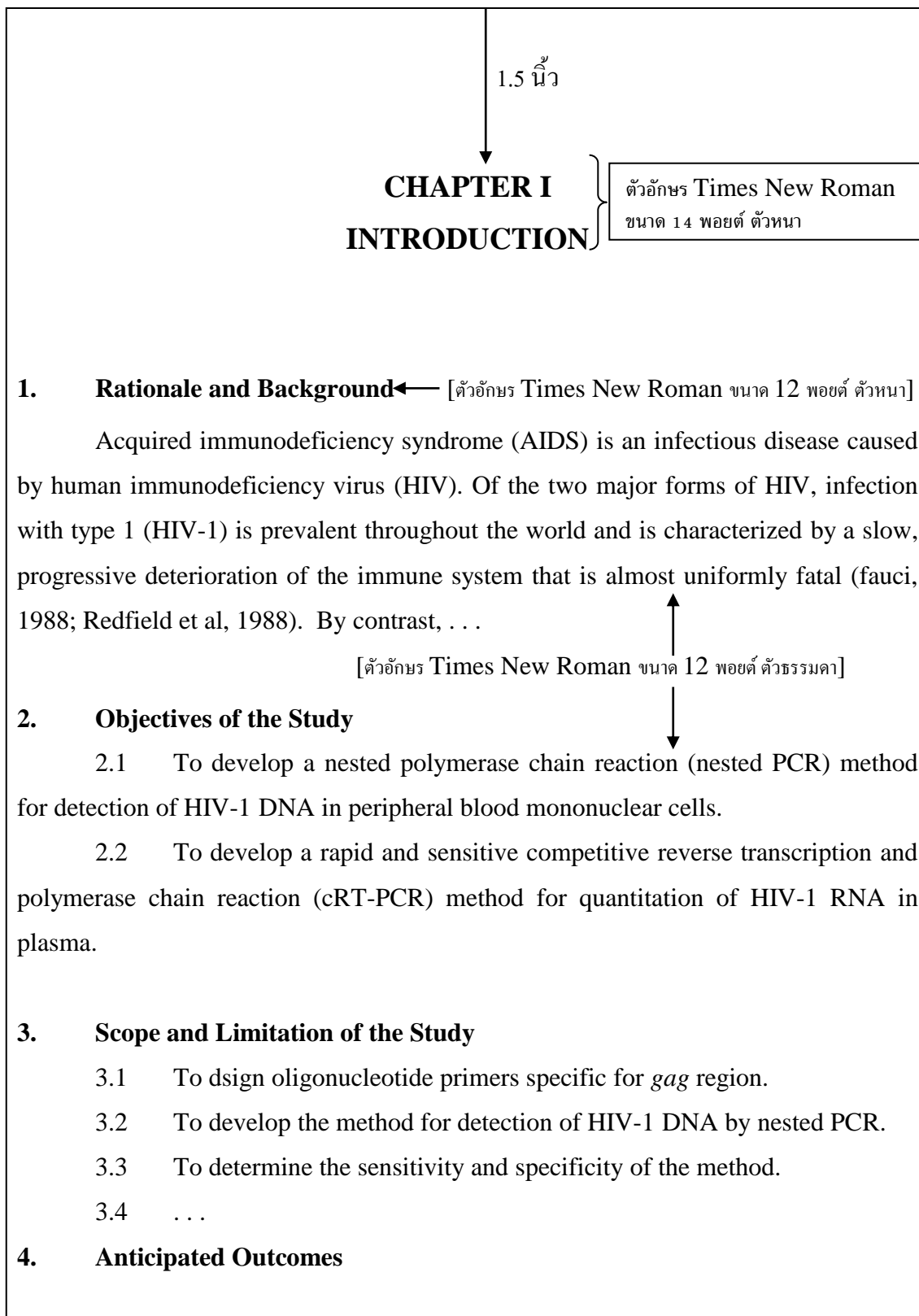
 - 1.2.1.1 โทรพีแบบมาลลีเอท (Malleate trophi) ทุกส่วนของอินคัสและมาลเลียสมีการพัฒนาและทำหน้าที่อย่างดี. . .
 - 1.2.1.2 โทรพีแบบมาลลีโอราเมท (Malleoramate trophi) โทรพีแบบนี้คล้ายคลึงกับแบบ. . .
 - 1.2.2 **ระบบกล้ามเนื้อ**

. . .
2. **การเปลี่ยนแปลงรูปร่างตามฤดูกาล**

การเปลี่ยนแปลงรูปร่างตามฤดูกาล (Cyclomorphosis) เป็นการเปลี่ยนแปลงรูปร่างภายนอก เช่น ขนาดตัว ความยาวของหนาม . . .
3. **การจำแนกประเภท**

โรติเฟอร์แบ่งออกเป็น 3 คลาสดังนี้

ตัวอย่างการพิมพ์ชื่อบท และการจัดวางเนื้อหา-ภาษาอังกฤษ
(ตัวอย่างที่ 1)



ตัวอย่างการพิมพ์ชื่อบท และการจัดวางเนื้อหา-ภาษาอังกฤษ
(ตัวอย่างที่ 2)

CHAPTER II
LITERATURE REVIEW

1. History

The first cases of AIDS in humans were recognized in 1981 based on an unusual clustering of disease including Kaposi's sarcoma and *Pneumocystis carinii* pneumonia in young homosexual men (Gottlieb et al, 1981; Masur et al, 1981; Siegal et al, 1981). AIDS cases were . . .

2. Virology

2.1 Classification

Both HIV-1 and HIV-2 are the members of RNA viruses that belonging to the mononcogenic, cytopathic *lentivirus* genus of retroviruses. . .

2.2 Composition of Virus

2.2.1 Virion Morphology, Structure, Size and Genomic Organization

The HIV-1 virion size is approximately 100 to 150 nm in diamethre which measures by electron microscopy. Mature viral particles are . . .

2.2.2 Major Structural and Regulatory Proteins

The major core proteins of HIV which encoded by the *gag* gene are synthesized as a large, . . .

2.3 Biology

2.3.1 Replication of HIV

. . .

ตัวอย่างการพิมพ์ตาราง-ภาษาไทย

2. วิธีการวิจัย

2.1 การเก็บตัวอย่างโรติเฟอร์

ทำการเก็บตัวอย่างโรติเฟอร์จากแหล่งน้ำต่างๆ ในเขตจังหวัดนครราชสีมา จำนวน 77 แห่ง โดยบันทึกรายชื่อแหล่งน้ำที่เก็บตัวอย่าง วันที่เก็บ ข้อมูลทางกายภาพของตำแหน่งที่เก็บ (ตารางที่ 1) เก็บตัวอย่างฤดูละ 1 ครั้ง จำนวน 3 ฤดู ได้แก่ . . .

ตารางที่ 1 รายชื่อแหล่งน้ำที่เก็บตัวอย่าง วันที่เก็บ และข้อมูลทางกายภาพของแหล่งน้ำ

สถานที่เก็บตัวอย่าง	วันที่เก็บ	อุณหภูมิ ของน้ำ (°C)	PH	ค่าการนำ ไฟฟ้า (μScm^{-1})	ความเค็ม (‰)
อำเภอเมือง					
1. บึงทับช้าง	20-07-39	34	7.7	1350	0.0
	01-12-39	26	7.3	1100	0.0
	03-04-40	28	8.0	1250	0.0
2. ห้วยโนนตาทอง	20-07-39	30	7.5	2000	0.5
	01-12-39	26	7.5	390	0.0
3. อ่างเก็บน้ำห้วยยาง	21-07-39	30	8.3	-	-
	06-12-39	25	7.2	195	0.0
	07-04-40	30	7.8	235	0.0
4. หนองแก้งช้าง	21-07-39	32	7.8	-	-
	06-12-39	26	7.4	470	0.0
	16-04-40	33	8.0	750	0.0
5. บึงตาหลัว	21-07-39	31	7.7	-	-
	06-12-39	25	7.8	305	0.0
	16-04-40	32	8.0	415	0.0
6. หัวทะเล	21-07-39	31	8.3	-	-

ตารางที่ 1 รายชื่อแหล่งน้ำที่เก็บตัวอย่าง วันที่เก็บ และข้อมูลทางกายภาพของแหล่งน้ำ (ต่อ)

สถานที่เก็บตัวอย่าง	วันที่เก็บ	อุณหภูมิ ของน้ำ (°C)	PH	ค่าการนำ ไฟฟ้า (μScm^{-1})	ความเค็ม (‰)
7. คูเมืองชลนิรมิตร	06-12-39	25	7.7	475	0.0
	06-04-40	30	8.4	700	0.0
	21-07-39	33	8.8	-	-
	06-12-39	25	8.3	490	0.0
8. คูเมืองข้างศาลากลาง	16-04-40	30	8.3	750	0.0
	21-07-39	32	8.2	-	-
	06-12-39	27	7.8	370	0.0
	07-04-40	31	6.7	485	0.0
อำเภอโนนไทย					
9. ลำเชียงไกร	20-07-39	31	7.2	2000	0.5
	01-12-39	26	7.4	1000	0.5
	03-04-40	27	7.3	1650	1.0
10. ห้วยน้อย	01-12-39	24	7.6	255	0.0
	03-04-40	30	7.87.	750	0.0
11. สระหน้าเว้า	20-07-39	33	1	2500	0.5
	01-12-39	25	7.27.	1800	0.5
	03-04-40	30	4	2150	1.0
12. สระจระเข้	20-07-39	33	7.67.	470	0.0
	01-12-39	25	8	380	0.0
	03-04-40	30	8.57.	450	0.0
13. บึงจำสาม	20-07-39	32	4	1700	0.0
	01-12-39	26	7.78.	1350	0.0
	03-04-40	31	2	1650	1.0

ตารางที่ 1 รายชื่อแหล่งน้ำที่เก็บตัวอย่าง วันที่เก็บ และข้อมูลทางกายภาพของแหล่งน้ำ (ต่อ)

สถานที่เก็บตัวอย่าง	วันที่เก็บ	อุณหภูมิ ของน้ำ (°C)	PH	ค่าการนำ ไฟฟ้า (μScm^{-1})	ความเค็ม (‰)
14. บึงบ้านวาง	20-07-39	32	8.68.	8000	3.5
	01-12-39	25	4	3900	3.0
	03-04-40	33	8.2	7500	3.5
อำเภอด่านขุนทด					
15. สระน้ำวัดบ้านหาญ	20-07-39	33	8.48.	370	0.0
	01-12-39	25	3	250	0.0
	03-04-40	35	8.28.	350	0.0
16. บึงบ้านหาญ	20-07-39	34	4	470	0.0
	01-12-39	24	8.3	295	0.0
	03-04-40	34	8.6	900	0.0
17. หนองสรวง	01-12-39	25	7.9	3700	2.0
	03-04-40	32	8.3	12500	5.5

ตัวอย่างการพิมพ์ตาราง-ภาษาอังกฤษ

1.4 DNA Amplification by Polymerase Chain Reaction (PCR)

. . . In secondary PCR, 5 μ l of primary PCR products were added to new reaction tubes containing fresh PCR reagent with the corresponding inner primers. The samples were then subjected to 30 PCR cycles. The details of PCR cycles for each primer pair was presented in Table 2.

Table 2 The thermal cycling profiles of nested PCR.

Primer Pairs	Program		
GAGUP/GAGLO, SK380/SK390, And SK38/SK39	94 °C 3 min	1 cycle	
	94 °C 30 s	30 cycles	
	55 °C 30 s		
	72 °C 30 s		
	72 °C 7 min	1 cycle	
SK462d/SK431r	50 °C 2 min	1 cycle	
	95 °C 10 s	5 cycles	
	55 °C 10 s		
	72 °C 10 s		
		90 °C 10 s	30 cycles
		60 °C 10 s	
	72 °C 10 s		
	72 °C 7 min	1 cycle	
BRT/3519	94 °C 3 min	1 cycle	
	94 °C 30 s	30 cycles	
	58 °C 30 s		
	72 °C 30 s		
	72 °C 7 min	1 cycle	
2566/2873, JA9/JA12, And JA10/JA11	94 °C 3 min	1 cycle	
	94 °C 30 s	30 cycles	
	50 °C 30 s		
	72 °C 30 s		
	72 °C 7 min	1 cycle	

ตารางที่ 12 ผลการยับยั้งเชื้อ *Salmonella* sp. ในเนื้อสุกรดิบ เมื่อเติมน้ำมันหอมระเหยจากตะไคร้ที่ความเข้มข้น 0.20, 0.40, 0.80, 1.0 และ 2.0 % (v/w) ที่อุณหภูมิการเก็บ 8±1 องศาเซลเซียส

เวลา(วัน)	จำนวนเชื้อ <i>Salmonella</i> sp. (log cfu/g)						
	Control 1	Control 2	0.20%	0.40%	0.80%	1.00%	2.00%
0	0.29±0.19 ^a	3.51±0.13 ^{de}	3.23±1.07 ^{klmno}	3.77±0.26 ^{opqr}	2.92±0.02 ^{qrs}	2.35±0.13 ^{qrs}	1.89±0.96 ^{opqr}
2	3.30±0.69 ^{defgh}	5.04±0.57 ^{klmno}	4.41±1.04 ^{mop}	4.33±0.28 ^{pqr}	3.61±0.11 ^{rst}	3.47±0.41 ^t	2.74±0.23 st
4	5.20±0.15 ^{de}	5.33±0.05 ^{hijklm}	4.59±0.33 ^{iklm}	4.58±0.09 ^{klmno}	4.35±0.15 ^{klmno}	4.26±0.67 ^{mnop}	3.44±0.12 ^{lmnop}
6	5.81±0.07 ^{efghi}	6.10±0.33 ^{ijklm}	4.93±0.60 ^{iklm}	4.98±0.97 ^{klmno}	4.53±0.81 ^{klmno}	4.37±0.32 ^{klmno}	3.30±0.00 ^{klmno}
8	6.23±0.20 ^{efg}	6.63±0.12 ^{defghi}	5.12±0.10 ^{ghijkl}	5.16±0.27 ^{ijklm}	4.56±0.07 ^{ijklm}	4.28±0.45 ^{klmn}	3.30±0.09 ^{iklm}
10	6.26±0.24 ^{bc}	7.16±0.27 ^{defg}	5.57±0.28 ^{ghijkl}	5.16±0.27 ^{ijklm}	4.78±0.53 ^{ghijkl}	4.35±0.87 ^{ijklm}	3.50±0.17 ^{ghijklm}
12	5.84±0.13 ^b	6.90±0.50 ^{cd}	5.23±0.50 ^{def}	5.03±0.80 ^{de}	4.58±0.16 ^{de}	4.40±0.00 ^{defgh}	3.47±0.18 ^{defg}

a,b...อักษรแนวตั้งและแนวนอนที่ต่างกันแสดงว่ามีความแตกต่างกันอย่างมีนัยสำคัญทางสถิติที่ระดับความเชื่อมั่นร้อยละ 95

ตัวอย่างการพิมพ์ตารางตามแนวขวาง-หน้าเลขคี่

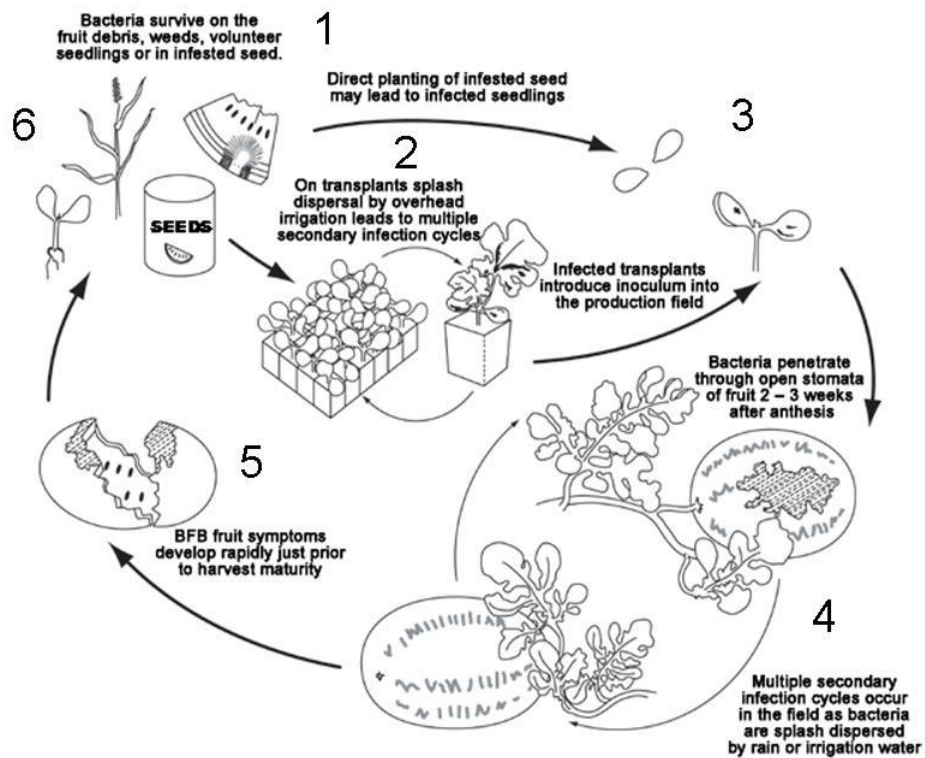
ตารางที่ 13 ผลการยับยั้งเชื้อ *Staph. aureus* ในเนื้อสุกรบด เมื่อเติมน้ำมันหอมระเหยจากตะไคร้ที่ความเข้มข้น 0.20, 0.40, 0.80, 1.0 และ 2.0% (v/w) ที่อุณหภูมิการเก็บ 8±1 องศาเซลเซียส

เวลา(วัน)	จำนวนเชื้อ <i>Staphylococcus aureus</i> (log cfu/g)						
	Control 1	Control 2	0.20%	0.40%	0.80%	1.00%	2.00%
0	0.10±0.17 ^{ab}	2.48±0.20 ^{hijkl}	2.46±0.15 ^{hijk}	2.48±0.09 ^{ijkl}	1.84±0.06 ^{efgh}	1.88±0.19 ^{efgh}	0.78±0.41 ^{bcd}
2	1.32±0.15 ^{def}	2.80±0.45 ^{ijklmno}	2.03±0.63 ^{efgh}	2.01±0.55 ^{efghi}	1.60±0.52 ^{cdef}	1.43±0.78 ^{def}	0.00±0.00 ^a
4	1.98±0.50 ^{efgh}	3.40±0.38 ^{lmnopqr}	3.26±0.67 ^{nopqr}	3.10±0.34 ^{klmnop}	2.07±0.60 ^{efghi}	0.88±0.16 ^{cde}	0.00±0.00 ^a
6	2.47±0.66 ^{hijk}	3.68±0.30 ^{nopqr}	3.26±0.24 ^{lmnopq}	3.20±0.17 ^{klmnopq}	2.36±0.47 ^{ghij}	1.39±0.17 ^{def}	0.33±0.35 ^{abc}
8	3.62±0.60 ^{nopqr}	3.98±0.28 ^{klmnopq}	3.23±0.15 ^{qr}	2.97±0.32 ^{klmno}	2.40±0.17 ^{bij}	1.91±0.21 ^{efgh}	0.69±0.08 ^{abcd}
10	3.83±0.97 ^{pqr}	4.06±0.31 ^{nopqr}	3.52±0.18 ^t	3.32±0.27 ^{mnopqr}	3.07±0.20 ^{klmnop}	2.60±0.21 ^{hijklm}	0.69±0.53 ^{abcd}
12	3.94±0.31 ^{qr}	4.05±0.34 ^{nopqr}	3.43±0.24 ^{nopqr}	3.41±0.63 ^{nopqr}	3.30±0.35 ^{mnopqr}	2.62±0.65 ^{hijkl}	0.25±0.13 ^{abc}

a,b...อักษรแนวตั้งและแนวนอนที่ต่างกันแสดงว่ามีความแตกต่างกันอย่างมีนัยสำคัญทางสถิติที่ระดับความเชื่อมั่นร้อยละ 95

ตัวอย่างการพิมพ์ภาพประกอบ-ภาษาไทย

การแพร่กระจายและระบาดของโรคมลเน่าแบคทีเรียในพืชตระกูลแตงเริ่มจากเชื้อแบคทีเรีย *Aac* มีการปนเปื้อนและติดมากับเมล็ดพันธุ์ เมื่อเมล็ดพันธุ์งอกเป็นต้นกล้าเชื้อจะเข้าทำลายระยะกล้า ซึ่งเป็นการทวีจำนวนของเชื้อในแปลงผลิตพืชตระกูลแตง หรือการมีเชื้อแบคทีเรีย *Aac* อยู่เดิมในสภาพแปลงผลิตพืชตระกูลแตง เชื้อแบคทีเรีย *Aac* แพร่ระบาดในแปลงปลูกโดยอาศัยตัวกลางเช่น หยอดน้ำฝน ระบบน้ำที่ให้กับพืชในช่วงของการเพาะปลูก ลม แมลงที่มากัดกินหรือสัมผัสกับพืชเป็นโรค รวมทั้งการติดไปกับวัสดุอุปกรณ์และเครื่องมือในการปฏิบัติงานในแปลงรวมทั้งจากตัวบุคคลที่เข้าไปดูแลปฏิบัติงานในแปลงปลูก เชื้อแบคทีเรีย *Aac* สามารถอยู่ข้ามฤดูในแปลงผลิตพืชในรูปแบบของเศษซากพืชเป็นโรคและการอาศัยอยู่บนพืชอาศัยชนิดอื่นๆ รวมทั้งในเมล็ดพันธุ์ (ภาพที่ 1)



ตัวอย่างการพิมพ์ภาพประกอบ

As mention above, Oxalate and CaOx-induced ROS formation and further cellular damages throughout the process of their chain reaction products as shown in Figure 2, and Figure 1 as mention above. Moreover ceramide lipid by product, affects intracellular pH that may alter cell function or trigger intrinsic apoptotic signal in acidic state (Famulski et al., 1999). In addition, excessive crystal deposition may induce local injury and inflammation indicated by cytosolic enzymes such as alkali phosphatase (ALP), leucine aminopepetidase (LAP) and *N*-acetyl- β -glucosaminidase (NAG) (Khan et al., 1992). Further local tissue damages accelerate the vicious cycling process of tubular epithelium damages and crystals attachment (Khan, 2006; Scheid et al., 2000). Thus, the fixing particles augment the progression of renal stone disease.

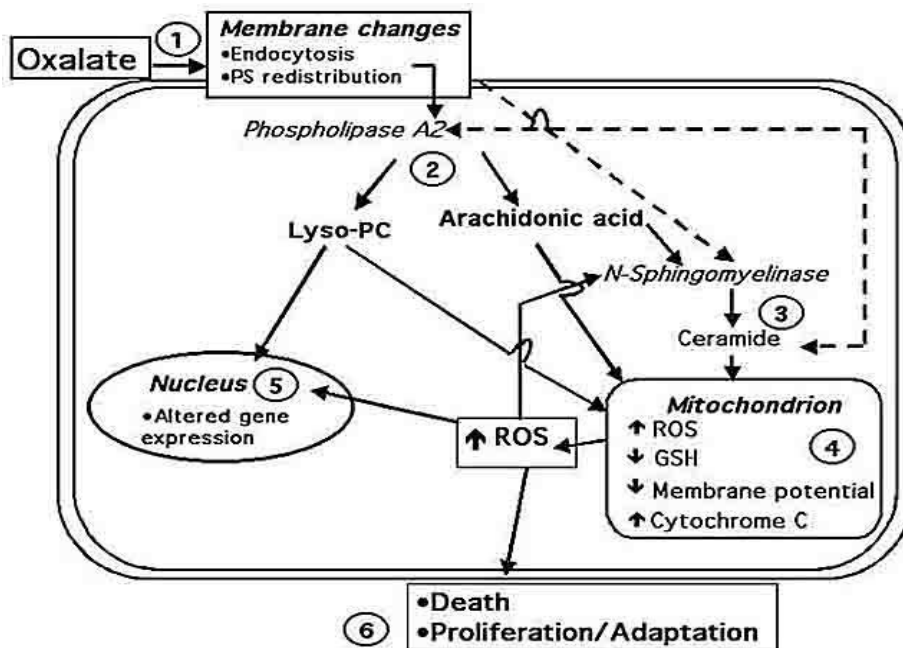


Figure 2 Oxalate induced mitochondrial oxidative stress from (1) passes through lipid signaling (2), (3), (4) (Scheid and Jonassen, 2004)